

Формирование метастабильных надбарьерных дырочных состояний в гетероструктурах 2-го типа ZnSe/BeTe при высокой плотности оптического возбуждения

А. А. Максимов¹⁾, С. В. Зайцев, Е. В. Филатов, А. В. Ларионов, И. И. Тартаковский, Д. Р. Яковлев⁺²⁾, А. Вааг^{*3)}

Институт физики твердого тела РАН, 142432 Черноголовка, Московская обл., Россия

⁺Experimentelle Physik II, University of Dortmund, D-44227 Dortmund, Germany

^{*}Institute of Semiconductor Technology, Braunschweig Technical University, D-38106 Braunschweig, Germany

Поступила в редакцию 1 августа 2008 г.

Обнаружено существенное замедление кинетики люминесценции пространственно прямых оптических переходов в гетероструктурах 2-го типа ZnSe/BeTe при высоких уровнях накачки фемтосекундными лазерными импульсами. Эффект объясняется тем, что в условиях сильного изгиба зон при высоких плотностях пространственно разделенных фотовозбужденных носителей возникает потенциальный барьер, который формирует метастабильное надбарьерное состояние для дырок в слое ZnSe. Это приводит к увеличению времени релаксации дырок по энергии при их переходе в соседний слой BeTe. Экспериментальные результаты хорошо согласуются с проведенными численными расчетами.

PACS: 73.21.-b, 73.61.Ga, 78.67.-n

В полупроводниковых гетероструктурах 2-го типа минимумы энергии для электронов и дырок находятся в соседних слоях структуры, что существенно влияет на их оптические свойства, в частности, приводит к двум типам оптических переходов: пространственно прямым (D) и непрямым (ID) переходам (см. вставку на рис.1) [1–3]. В таких системах релаксация фотовозбужденных носителей по энергии сопровождается быстрым межслойным пространственным разделением электронов и дырок, что наблюдалось в сверхрешетках GaAs/AlAs [4] и ZnSe/BeTe [5].

В сверхрешетках ZnSe/BeTe наличие глубоких потенциальных ям для электронов в слоях ZnSe и для дырок в слоях BeTe приводит к слабому перекрытию их волновых функций на интерфейсах и, соответственно, к длинным временам пространственно непрямой рекомбинации. Это позволяет реализовать в условиях сильного фотовозбуждения систему с пространственно разделенными слоями электронов и дырок с высокой плотностью $n > 10^{13} \text{ см}^{-2}$ [3]. Электрические поля, возникающие при пространственном разделении фотовозбужденных носителей высокой плотности, в свою очередь, приводят к существенному изгибу зоны проводимости и валент-

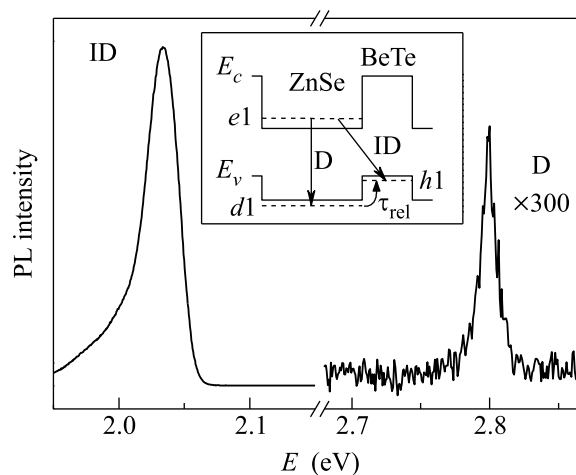


Рис.1. Спектр ФЛ в сверхрешетке ZnSe/BeTe (10 нм/5 нм) · 10 при возбуждении непрерывным He-Cd-лазером при $T = 1.5$ К. На вставке показаны зонная схема гетероструктур 2-го типа в пределе малой плотности носителей, нижайшие по энергии уровни электронов (e_1) и дырок (h_1), и надбарьерный уровень дырок в слое ZnSe (d_1). Стрелками отмечены пространственно прямые (D) и непрямые (ID) оптические переходы

ной зоны. При этом происходит сильный сдвиг в сторону высоких энергий уровней размерного квантования электронов и дырок и, как следствие, изменение энергии межзонных оптических переходов, в результате чего наблюдается гигантский фиолето-

¹⁾e-mail: maksimov@issp.ac.ru

²⁾Также: Физико-технический институт им. А.Ф.Иоффе, 194021 Санкт-Петербург, Россия.

³⁾A. Waag.

вый сдвиг спектральных линий пространственно не-прямых оптических переходов, вплоть до 0.5 эВ в ZnSe/BeTe [3]. Естественно ожидать, что модификация зонной структуры должна также привести к изменениям во времени релаксации (τ_{rel}) дырок, фотовозбужденных в слое ZnSe, в слой BeTe (вставка на рис.1). Это, в свою очередь, отразится как на спектральном составе, так и на кинетике фотолюминесценции (ФЛ).

Целью данной работы является изучение кинетики ФЛ для пространственно прямых переходов, отражающей процесс пространственного разделения зарядов (ухода дырок из слоя ZnSe в слой BeTe) в гетероструктурах на основе ZnSe/BeTe при высоких плотностях фотовозбужденных носителей в условиях формирования сильного изгиба зон.

Сверхрешетки на основе ZnSe/BeTe являются широкозонными II-VI гетероструктурами 2-го типа с большой величиной локализующего потенциала для электронов в слое ZnSe ($\gtrsim 2.0$ эВ) и для дырок (~ 0.8 эВ), минимум энергии которых находится в слое BeTe [6]. Величина запрещенной зоны в слое ZnSe составляет $E_g \sim 2.8$ эВ, в слое BeTe она существенно больше – $E_g \sim 4.5$ эВ [7]. Сильное различие в величине E_g позволяет при фотовозбуждении генерировать электроны и дырки только в слое ZnSe.

При фотовозбуждении электронно-дырочных пар в слое ZnSe коротким лазерным импульсом в процессе их быстрой релаксации по энергии электроны за-селяют нижайший уровень $e1$ квантовой ямы в ZnSe, тогда как нерезонансно фотовозбужденные дырки ре-лаксируют либо до нижайшего надбарьерного уровня $d1$ в слое ZnSe, либо сразу переходят в слой BeTe, где ре-лаксируют на основной уровень $h1$ (см. вставку на рис.1). При этом время затухания ФЛ для прямого перехода будет определяться временем жизни τ дырок на надбарьерном уровне $d1$ в слое ZnSe. В общем случае значение τ определяется излучательным временным электронно-дырочной рекомбинации τ_R в слое ZnSe, временем их безызлучательной рекомбинации τ_{NR} и временем ухода фотовозбужденных дырок τ_{rel} из слоя ZnSe в слой BeTe [5].

Непрямые в пространстве оптические переходы, отвечающие излучательной рекомбинации фотовозбужденных электронов в слое ZnSe и дырок в слое BeTe, находятся в спектральной области ~ 2.0 эВ [8] при низких уровнях фотовозбуждения. Излучательная рекомбинация фотовозбужденных электронов и дырок в слое ZnSe, отвечающая прямым в пространстве оптическим переходам, находится в области энергий ~ 2.8 эВ, соответствующей энергетической щели в ZnSe.

Следует отметить, что при непрерывном лазерном возбуждении и низких уровнях накачки интегральная интенсивность полосы, отвечающей в спектрах ФЛ пространственно непрямым оптическим переходам, значительно превосходит интенсивность прямых переходов в структурах с толщиной слоя ZnSe $L_{\text{ZnSe}} \lesssim 15$ нм (см. рис.1). Этот факт, а также зависимость величины τ в сверхрешетках ZnSe/BeTe с различной толщиной слоя ZnSe [5] позволяют заключить, что для гетероструктур 2-го типа ZnSe/BeTe при $L_{\text{ZnSe}} \lesssim 15$ нм выполняется соотношение $\tau_{\text{rel}} \ll \ll \tau_R, \tau_{NR}$. Для примера укажем, что характерное время излучательной рекомбинации τ_R в квантовых ямах в структурах 1-го типа на основе ZnSe составляет $\simeq 50$ пс [9].

Исследованная структура была выращена методом молекулярно-пучковой эпитаксии на подложках GaAs с ориентацией (001) [6] и представляла собой сверхрешетку (10/5)·10 из чередующихся слоев ZnSe и BeTe (первой цифрой указана толщина слоя ZnSe, второй – слоя BeTe в нм, затем число периодов). Соотношение толщин слоев $\sim 2:1$ выбрано для взаимной компенсации упругих напряжений, имеющих противоположные знаки в соседних слоях [6].

Исследования проводились в оптическом криостате в сверхтекучем гелии (температура $T \approx 1.5$ К). Времяразрешенные измерения проводились с использованием Ti:Sa фемтосекундного лазера (длительность импульса ~ 80 фс, частота повторений импульсов 76 МГц) с удвоителем частоты – $\hbar\omega_{\text{exc}} = 2.95$ эВ ($\lambda = 420$ нм) в качестве источника фотовозбуждения, и монохроматора с низкой дисперсией (с дифракционной решеткой 300 шт/мм), оснащенного стриккамерой с временным разрешением ~ 1.5 пс. В целом измерительная установка позволяла проводить прямые измерения времен затухания импульсов свечения ФЛ вплоть до 2 пс, а с помощью деконволюции импульсов свечения можно было оценивать времена затухания ФЛ $\lesssim 1.5$ пс.

Лазерное излучение фокусировалось в пятно диаметром $\approx 20 \div 100$ мкм на поверхности образца и поглощалось только в слоях ZnSe (так как величина запрещенной зоны в BeTe $E_g^{\text{BeTe}} \simeq 4.5$ эВ). Максимальная плотность энергии в импульсе достигала $P \sim 50$ мкДж/см². Плотность лазерной накачки на поверхности образца варьировалась с помощью нейтральных фильтров, а также изменением размеров пятна возбуждения. Оценка двумерной (2D) плотности n носителей, инжектированных в слой ZnSe в каждом импульсе, проводилась с использованием значения коэффициента поглощения α в области фотовозбуждения $\hbar\omega_{\text{exc}} = 2.95$ эВ ($\alpha \simeq 10^5$ см⁻¹) [10].

На вставке рис.2 представлены данные по затуханию ФЛ в области прямого оптического перехода при

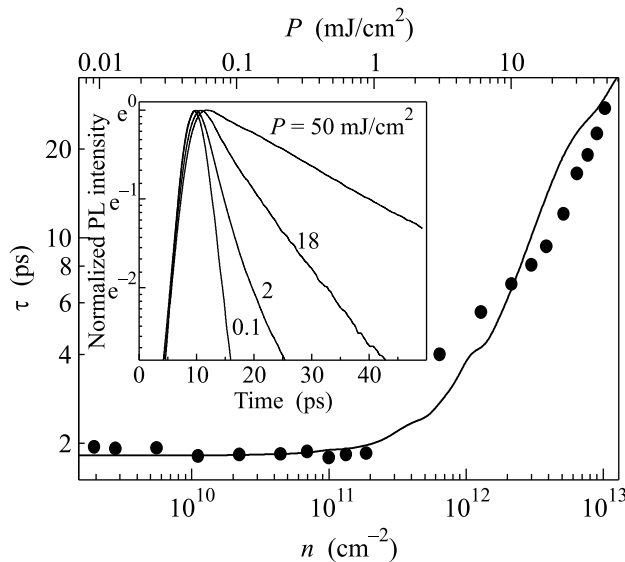


Рис.2. Зависимость времени затухания τ интенсивности ФЛ прямого оптического перехода от плотности инжектированных носителей n (нижняя ось) или от плотности накачки P (верхняя ось) для ZnSe/BeTe сверхрешетки 10 нм/5 нм. На вставке приведены кривые затухания интенсивности ФЛ в области прямых переходов в полулогарифмическом масштабе при различных уровнях плотности энергии в импульсе

нескольких значениях средней плотности P оптической накачки фемтосекундным лазерным импульсом. На графике рис.2 точками представлены времена затухания ФЛ τ в зависимости от 2D плотности носителей, отвечающие результатам одноэкспоненциальной подгонки импульсов свечения $I_{PL}(t) = I_0 \exp(-t/\tau)$. Значение 2D плотности носителей определялось по плотности накачки P (верхняя ось), используя коэффициент поглощения $\alpha \simeq 10^5 \text{ см}^{-1}$. Как видно из рис.2, при минимальных уровнях накачки P время затухания ФЛ составляет $\tau \simeq 1.9 \text{ пс}$. Начиная с $n > 10^{12} \text{ см}^{-2}$, происходит существенное замедление кинетики прямого перехода, что следует из роста величины τ .

Значение $\tau \simeq 1.9 \text{ пс}$ при малых накачках P , которое оказывается близким к временному разрешению установки, свидетельствует о быстром пространственном разделении зарядов ($\tau_{\text{rel}} < 2 \text{ пс}$) при низкой плотности инжектированных носителей $n \leq 2 \cdot 10^{11} \text{ см}^{-2}$ в пределе плоских зон. При самых высоких плотностях носителей $n \sim 10^{13} \text{ см}^{-2}$, когда уже имеет место сильный изгиб зон, проявляющийся, в частности, в значительном сдвиге полосы непрямого

перехода [3], τ_{rel} удлиняется до $\sim 28 \text{ пс}$. Таким образом, значительный, в десятки раз, рост величины τ_{rel} свидетельствует о существенном влиянии зонной структуры на скорость релаксации носителей в гетероструктурах 2-го типа.

Для более полного понимания влияния потенциала структуры в условиях сильного изгиба зон на кинетику пространственно прямого перехода в спектре ФЛ был проведен расчет зонных схем (зоны проводимости и валентной зоны) при различных значениях плотности носителей путем самосогласованного решения уравнений Шредингера и Пуассона.

На рис.3 приведены зонные схемы для сверхрешетки ZnSe/BeTe с толщинами слоев 10 нм/5 нм при

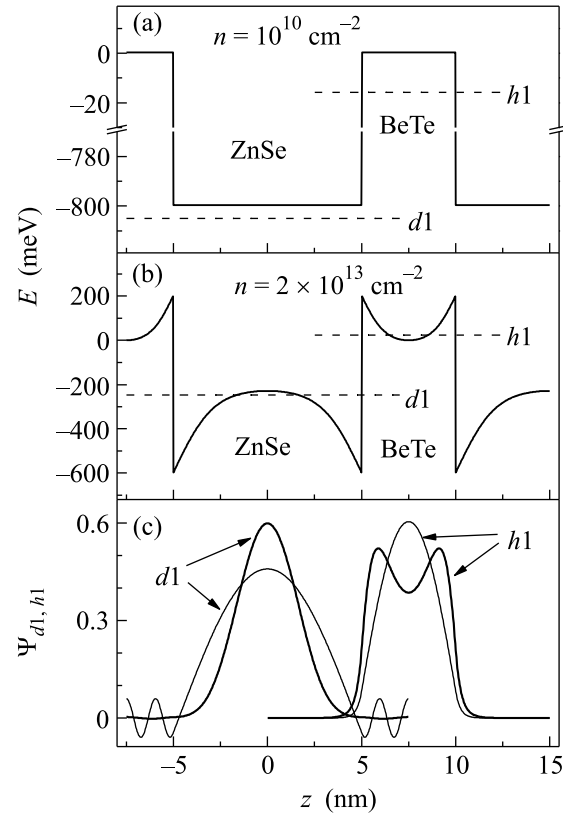


Рис.3. Расчетные профили валентной зоны, положение первого надбарьерного уровня дырки ($d1$), локализованного в слое ZnSe, и основного уровня дырки ($h1$), локализованного в слое BeTe при различной плотности носителей n : (a) $n = 10^{10} \text{ см}^{-2}$ и (b) $n = 2 \cdot 10^{13} \text{ см}^{-2}$. На нижней панели (c) приведены волновые функции дырки в надбарьерном состоянии $d1$ и состоянии $h1$. Тонкие и толстые кривые отвечают плотности носителей $n = 10^{10} \text{ см}^{-2}$ и $n = 2 \cdot 10^{13} \text{ см}^{-2}$, соответственно

низкой и высокой плотностях пространственно разделенных носителей $n = 10^{10} \text{ см}^{-2}$ и $2 \cdot 10^{13} \text{ см}^{-2}$, соответственно, полученные в результате расчета. Вид-

но, что с ростом плотности носителей n и, соответственно, с увеличением изгиба зон уровень энергии дырок $d1$ в слое ZnSe поднимается вверх (панели (а) и (б) рис.3), и для надбарьерных дырок формируется реальный потенциальный барьер (см. среднюю панель (б) на рис.3). В этих условиях для релаксации дырок из нижайшего надбарьерного состояния в слое ZnSe в основное состояние в слое BeTe требуется протуннелировать через заметный потенциальный барьер, величина которого, и, следовательно, величина τ_{rel} зависят от плотности пространственно разделенных носителей n . При этом прозрачность барьера, определяемая его высотой и шириной, уменьшается с ростом плотности разделенных зарядов, что должно привести к замедлению темпа туннелирования дырок через барьер. Волновые функции для дырок в нижайшем надбарьерном ($d1$) состоянии и в нижайшем состоянии ($h1$) при низкой и высокой плотностях пространственно разделенных носителей представлены на нижней панели (с) рис.3. В качестве меры вероятности туннелирования из слоя ZnSe в слой BeTe дырки, находящейся в нижайшем надбарьерном состоянии, использовалась величина, пропорциональная интегралу $|\Psi_{d1}|^2$ в слое BeTe [11]. Для сопоставления расчетов с результатами эксперимента дополнительно учитывалась различная величина плотности носителей n в зависимости от глубины залегания слоя ZnSe от поверхности образца при поглощении лазерного возбуждения, а также принималось во внимание временное разрешение измерительной установки. На рис.2 рассчитанная таким образом вероятность туннелирования дырки из слоя ZnSe и, соответственно, $\propto 1/\tau_{\text{rel}}$ представлена сплошной кривой. Видно, что результаты расчета находятся в хорошем согласии с экспериментальными данными.

Отметим характерные особенности в кинетических кривых интенсивности прямого перехода в спектрах ФЛ в зависимости от величины P (вставка на рис.2). Видно, что: (i) импульс свечения ФЛ хорошо описывается одноэкспоненциальной зависимостью с временем затухания τ ; (ii) уменьшение интенсивности импульса свечения происходит практически сразу (с нашей экспериментальной точностью, учитывая временное разрешение ~ 2 пс) после окончания лазерного импульса; величина τ определяется плотностью лазерного возбуждения. С другой стороны, в начальный момент времени электронно-дырочные пары генерируются только в слое ZnSe, а характерное время релаксации дырки в двумерных структурах с участием LO-фонона либо с испусканием высокочастотных акустических фононов, как правило, близко по величине к

≈ 1 пс [12]. Поэтому в течение первых пикосекунд после лазерного импульса, когда еще не произошло пространственного разделения зарядов, релаксация надбарьерных дырок из слоя ZnSe в слой BeTe должна стартовать в условиях плоских зон. Соответственно, кривые затухания ФЛ при различных уровнях возбуждения P на начальном участке должны были бы иметь одинаковый наклон (в логарифмическом масштабе интенсивности), который отвечает времени затухания $\tau_{\text{rel}}(n = 0)$. В эксперименте, как следует из рис.2, наклон (соответственно, величина τ) систематически растет с ростом P .

Таким образом, можно утверждать, что пространственное разделение фотовозбужденных дырок и электронов в наших гетероструктурах происходит в основном за времена $\lesssim 2$ пс. Заметим также, что специально проведенные измерения спектрального сдвига и интенсивности полосы ФЛ, отвечающей пространственно непрямым переходам, указывают, что остаточная (через ~ 13.3 нс – время между фемтосекундовыми лазерными импульсами) плотность пространственно разделенных электронов и дырок прецебрежимо мала.

Что касается каналов, по которым происходит быстрая релаксация фотовозбужденных дырок по энергии: (i) рассеяние дырок из слоя ZnSe в слой BeTe, не доходя до нижнего надбарьерного уровня $d1$, либо (ii) релаксация заметной части дырок в слое ZnSe до надбарьерного уровня $d1$ с последующей их миграцией в слой BeTe – этот вопрос остается открытым и требует дальнейших исследований. По-видимому, подобные исследования предпочтительнее проводить на сверхрешетках с более толстым слоем ZnSe, в которых величина $\tau_{\text{rel}} \approx 20$ пс ($n = 0$) [5].

Таким образом, проведенные исследования кинетики ФЛ в широкозонных гетероструктурах 2-го типа ZnSe/BeTe продемонстрировали существенное замедление темпа релаксации фотовозбужденных надбарьерных дырок по энергии в результате их миграции из слоя ZnSe в слой BeTe при высокой плотности фотовозбуждения. Расчеты зонной схемы структуры показали, что при высокой плотности разделенных электронов и дырок возникающий изгиб зон приводит к формированию реального потенциального барьера для надбарьерных дырок в слое ZnSe.

Работа выполнена при поддержке Российского фонда фундаментальных исследований, проекты # 07-02-00980 и # 08-02-01302.

1. F. C. Zhang, H. Luo, N. Dai et al., Phys. Rev. B **47**, 3806 (1993).

2. N. Dai, L. R. Ram-Mohan, H. Luo et al., *Phys. Rev. B* **50**, 18153 (1994).
3. С. В. Зайцев, В. Д. Кулаковский, А. А. Максимов и др., *Письма в ЖЭТФ* **66**, 351 (1997).
4. J. Feldmann, J. Nunnenkamp, G. Peter et al., *Phys. Rev. B* **42**, 5809 (1990).
5. А. А. Максимов, И. И. Тартаковский, Д. Р. Яковлев и др., *Письма в ЖЭТФ* **83**, 173 (2006).
6. A. Waag, F. Fisher, H.-J. Lugauer et al., *J. Appl. Phys.* **80**, 792 (1996).
7. M. Nagelstrasser, H. Dröge, H.-P. Steinrück et al., *Phys. Rev. B* **58**, 10394 (1998).
8. A. V. Platonov, D. R. Yakovlev, U. Zehnder et al., *Acta Physica Polonica A* **92**, 1063 (1997).
9. D. R. Yakovlev, J. Puls, G. V. Mikhailov et al., *Phys. Stat. Sol. (a)* **178**, 501 (2000).
10. В. Д. Гавриленко, А. М. Грехов, Д. В. Корбутяк, В. Г. Литовченко, *Оптические свойства полупроводников*, Наукова Думка, Київ, 1987, с. 259.
11. С. В. Зайцев, А. А. Максимов, И. И. Тартаковский и др., *ФТП* **42**, 555 (2008).
12. F. Tassone, C. Piermarocchi, V. Savona et al., *Phys. Rev. B* **53**, R7642 (1996).